

ях постоянного объема при варировании в широких пределах величинами нормальных скоростей горения, температур продуктов и молекулярных свойств (см., например, [6, 7]) показывает наличие корреляции крутизны начального участка  $K_p$  (рис. 4) от параметров  $\kappa/u_n$  и  $D/\kappa$ . Такая зависимость в виде

$$K_p \sim \sqrt{\frac{u_n l}{\kappa} \left( 1 + \frac{D}{\kappa} |\Delta \alpha|^{1/2} \right)},$$

где  $l$  — интегральный масштаб турбулентности, вполне прилично описывает имеющийся экспериментальный материал. С учетом этого можно предложить оценочную зависимость  $w = u_n + \frac{4}{8} K_p u'_\Sigma - \frac{0,17}{V_\varepsilon} \left( \frac{l}{\kappa} 10^{-3} \right) (u'_\Sigma)^2$ , которая с 20%-ной точностью соответствует скоростям выгорания исследованных смесей. Зависимость такого рода позволяет предсказать в условиях реального двигателя турбулентные скорости выгорания для разных режимов работы. При этом, естественно, следует при моделировании горения в реальном двигателе использовать смеси с меньшими концентрациями инертного газа [8].

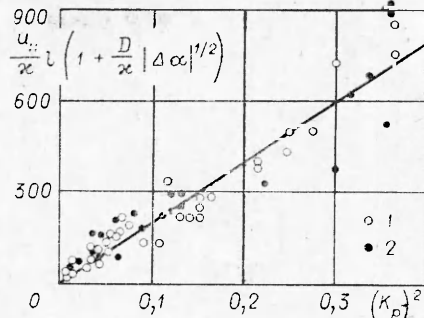


Рис. 4. Изменение крутизны начального участка зависимости турбулентной скорости выгорания от пульсационной при изменении параметров  $u_n/k$  и  $D/k$ .

1 — поверхность ламинарных пламен гладкая; 2 — ячеистая.

Поступила в редакцию 26/XI 1980

#### ЛИТЕРАТУРА

1. В. П. Карпов, Е. С. Северин. ФГВ, 1980, 16, 1.
2. Я. Б. Зельдович. Теория горения и детонации газов. М.: Изд-во АН СССР, 1944.
3. Г. И. Баренблатт, Я. Б. Зельдович, А. Г. Истратов. ПМТФ, 1962, 4, 21.
4. А. Г. Истратов, В. Б. Либрович. ПММ, 1966, 30, 3, 451.
5. А. Г. Истратов, В. Б. Либрович. ПМТФ, 1966, 1, 67.
6. В. П. Карпов, Е. С. Северин. Докл. АН СССР, 1978, 239, 1, 123.
7. В. П. Карпов, Е. С. Северин. ФГВ, 1981, 17, 1, 137.
8. В. П. Карпов, Е. С. Северин. Всес. науч. конф. «Рабочие процессы в двигателях внутреннего сгорания» (тез. докл.). М., 1978.

УДК 614.841.12

#### ВЛИЯНИЕ ТЕМПЕРАТУРЫ НА НИЖНИЙ КОНЦЕНТРАЦИОННЫЙ ПРЕДЕЛ РАСПРОСТРАНЕНИЯ ПЛАМЕНИ В АЭРОВЗВЕСЯХ

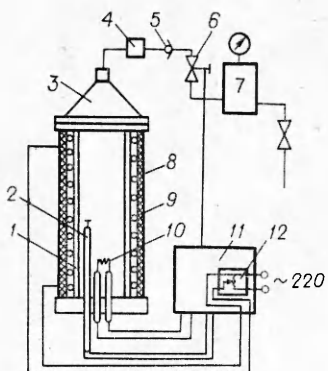
А. Я. Корольченко, А. В. Перов, Ю. Н. Шебеко

(Балашиха)

Работа посвящена исследованию температурной зависимости нижнего концентрационного предела воспламенения серы и бензойной кислоты.

Схема экспериментальной установки показана на рис. 1. В качестве реакционного сосуда использована труба из кварцевого стекла с внутренним диаметром 0,1 и высотой 0,4 м. Форма и геометрические размеры реакционного сосуда соответствуют рекомендациям стандартной методики измерения нижнего концентрационного предела воспламенения  $\Phi_{\text{п}}$  аэровзвесей при нормальной температуре [1]. Памотапная на трубу спираль из никромовой проволоки, помещенная в асбестовую изоляцию, обеспечивала нагрев воздуха внутри реакционного сосуда до 600°C. Температура измерялась хромель-копелевой термо парой, размещенной в центре сосуда по высоте и на 0,03 м от стенки. В качестве источника зажигания использована нагретая до температуры 1000—1050°C электрическая спираль. Примененная конструкция распыльщика позволяла получать внутри реакционного сосуда относительно равномерное пылевое облако. Экспериментальная установка обеспечивала условия распространения пламени практически при атмосферном давлении.

Эксперименты проводились следующим образом. Реакционный сосуд нагревался до заданной температуры (предварительно проведенные опыты показали, что разность температур между двумя любыми точками внутри сосуда не превышала 5°). В форсунку помещалась навеска исследуемого вещества и включался источник зажигания. Импульсом сжатого воздуха из мерника (объем  $10^{-5}$  м<sup>3</sup>, начальное давле-



*Рис. 1. Схема экспериментальной установки.*

1 — реакционный сосуд; 2 — термопара; 3 — распылитель; 4 — форсунка; 5 — обратный клапан; 6 — электромагнитный центриль; 7 — мерник; 8 — спираль нагрева трубы; 9 — асbestosовая теплоизоляция; 10 — источник зажигания; 11 — измерительный блок; 12 — регулятор нагрева.

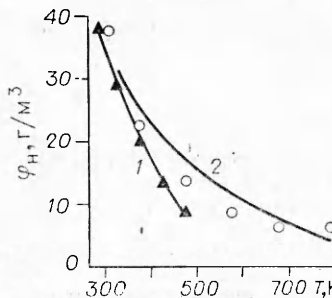


Рис. 2. Зависимость от температуры нижнего концептрационного предела серы (1) и беззойной кислоты (2).

Кривые — результаты расчета по формуле (2).

Учитывая, что величина  $v_b$  связана с  $T$  соотношением  $v_b = v_{b0}^0 \cdot T_0 / T$ , где  $v_{b0}^0$  — число молей воздуха в 1 м<sup>3</sup> при  $T_0 = 273$  К, находим выражение для  $\Phi_H$ :  $\Phi_H = v_{b0}^0 T_0 c_b / Q \cdot (T_{ad}/T - 1)$ . Выражая величину  $v_{b0}^0 T_0 c_b / Q$  через значение  $\Phi_H^0$  при  $T_0$  с помощью выражения (1), получаем соотношение

$$\Phi_H = \Phi_H^0 \frac{T_{\text{ad}}/T - 1}{T_{\text{ad}}/T_0 - 1}. \quad (2)$$

Сопоставление экспериментальных данных и вычисленных по соотношению (2) величин  $\varphi_n$  для серы и бензойной кислоты показано на рис. 2. Наблюдающееся удовлетворительное совпадение измеренных и предсказанных величин позволяет сделать вывод о преобладающей роли конвективно-кондуктивного механизма теплопередачи при распространении пламени в аэровзвесях серы и бензойной кислоты низкепререльного состава.

*Поступила в редакцию 1/X 1980*

## ЛІТЕРАТУРА

1. Гост 12.01.017-80. Пожароизрывоопасность нефтепродуктов и химических органических продуктов. Номенклатура показателей.
  2. Я. Б. Зельдович, В. В. Воеводский. Термовой взрыв и распространение пламени в газах. М., 1947.